

ОБЪЕДИНЕННЫЙ  
ИНСТИТУТ  
ЯДЕРНЫХ  
ИССЛЕДОВАНИЙ  
ДУБНА



Г-423

28/2-74

P2 - 8052

4171/2-74

М.В.Гершкевич, А.В.Ефремов

ПЕРЕРАССЕЯНИЕ "РЕДЖИОННОВ" В ТЕОРИИ  $\varphi^4$

**1974**

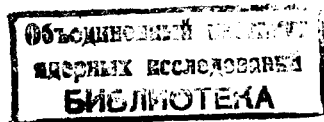
ЛАБОРАТОРИЯ  
ТЕОРЕТИЧЕСКОЙ ФИЗИКИ

P2 - 8052

М.В.Гершкевич, А.В.Ефремов

ПЕРЕРАССЕЯНИЕ "РЕДЖИОНОВ" В ТЕОРИИ  $\varphi^4$

*Направлено в ТМФ*



Гершкевич М.В., Ефремов А.В.

P2 - 8052

Перерассеяние "реджионов" в теории  $\phi^4$

В  $\alpha$ -представлении выполняется суммирование всех логарифмов диаграммы мандельстамовского типа в теории  $\phi^4$ . Показано, что несмотря на отсутствие быстрого убывания, амплитуды рассеяния за массовой поверхностью перерассеяния как полюсов Редже, так и неподвижных корневых ветвлений, возникающих в теории  $\phi^4$  наряду с полюсами Редже, описываются обычной формулой.

Препринт Объединенного института ядерных исследований.

Дубна, 1974

Gershkevich M.V., Efremov A.V.

P2 - 8052

The Reggeon Rescattering in  $\phi^4$ -Theory

In the  $\alpha$ -representation all logarithms of the Mandelstam diagram in the  $\phi^4$ -theory are summed up. It is shown that despite the absence of the rapid decrease of the off-shell scattering amplitude the rescatterings of the Regge poles as well as the fixed square-root branch points, appearing in the  $\phi^4$ -theory together with the Regge poles, are described by the usual formula.

Preprint. Joint Institute for Nuclear Research.  
Dubna, 1974

©1974 Объединенный институт ядерных исследований Дубна

## 1. Введение

На существование движущихся разрезов в комплексной плоскости углового момента при высоких энергиях, которые играют столь существенную роль в современной феноменологии, впервые указали Амати, Фубини и Стингеллини /1/. В дальнейшем оказалось, что рассмотренная ими плоская диаграмма генерирует разрез на нефизическом листе, который аннулируется многочастичными вкладами /по крайней мере, на физическом листе /2, 3/. Затем эти разрезы были обнаружены в неплоских диаграммах теории  $\phi^3$  и явились предметом изучения многих работ /4/ /там же подробная библиография/.

Ясно, однако, что теория  $\phi^3$  ни в коей мере не может служить моделью для описания истинной картины взаимодействий. Поэтому были предприняты попытки исследовать явления перерассеяния реджионов, основываясь на общих свойствах амплитуды рассеяния. Наибольшего успеха в этом отношении удалось достичь в реджионной технике Грибова /5/ и квазипотенциальном подходе /6/, в которых в рамках предположения о достаточно быстром убывании амплитуды либо с ростом массы внешних частиц, либо с ростом передачи импульса /вплоть до  $t \sim s$ / перерассеяние реджионов действительно приводит к движущимся ветвленим. Однако подобные свойства отсутствуют в более реалистических теориях типа электродинамики или  $y^5$ -теории, хорошей моделью которой является теория  $\phi^4$ . Последнее обстоятельство вызвало сомнения /7/ в правомочности реджионной техники. Дать ответ на эти сомнения могло лишь рассмотрение диаграммы мандельстамовского типа /рис. 1/, по крайней мере, в теории  $\phi^4$ . Именно этому вопросу и посвящена настоящая статья.

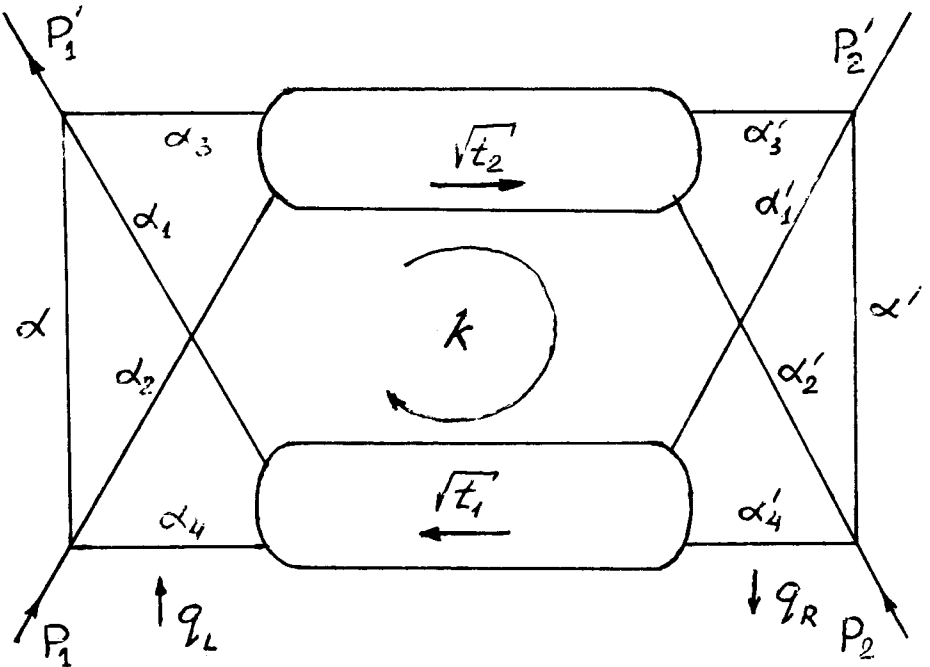


Рис. 1

Регуляризованный вклад произвольной диаграммы на рис. 1 в  $a$ -представлении представим в виде

$$T(S, t) = H \int_0^\infty \prod R(\xi_\sigma) \frac{a_\sigma^{\xi_\sigma} da_\sigma}{D^2(a)} \exp[A(a) S + J(a; t; m)], /1/$$

где для устранения расходимостей использован метод аналитической регуляризации Спира /8/ /оператор  $R(\xi)$ /.

Об асимптотическом поведении диаграммы удобно говорить на языке ведущей особенности в комплексной плоскости меллиновского параметра, введенного вместо боль-

шой переменной  $S = \frac{s-u}{2}$  /  $s, t, u$  - обычные мандель-

стамовские переменные/, совпадающей с ведущими особенностями комплексного углового момента .

Из-за существования двух разрезов в комплексной  $S$ -плоскости аккуратный переход к этому параметру требует выделения положительной и отрицательной сигнатур, т.е.

$$T^\pm(S, t) = -\frac{1}{4i} \int_{\delta-i\infty}^{\delta+i\infty} dj \frac{(-S)^j \pm S^j}{\sin \pi j} \frac{\Phi^\pm(j; t)}{\Gamma(j+1)}, /2/$$

где

$$\Phi^\pm(j; t) = H \int_0^\infty \prod R(\xi_\sigma) \frac{a_\sigma^{\xi_\sigma} da_\sigma}{D^2(a)} |A(a)|^j [\theta(A) \pm \theta(-A)] e^{J(a; t; m)}, /3/$$

а  $H$  - степень  $h/16\pi^2$ , равная порядку диаграммы.

Особенности функции  $\Phi^\pm(j; t)$  в комплексной  $j$ -плоскости могут происходить как из-за обращения функции  $A(a)$  в нуль на краю области интегрирования по переменным  $a$  /так называемые краевые особенности, возникающие из-за "асимптотического режима" некоторых подграфов/, так и в середине области интегрирования /неплоские особенности, возникающие за счет сокращения в  $A(a)$  слагаемых с разными знаками/.

Для описания асимптотического режима подграфов  $V$  удобно воспользоваться стандартной процедурой, т.е. каждому из  $V$  сопоставить параметр  $\lambda_V$ , так что

$$a_\sigma = \lambda_V a_\sigma; \quad \sum_{\sigma \in V} a_\sigma = \lambda_V. /4/$$

При этом, если объединение  $V$  содержит  $C_V$  независимых циклов и  $L_V$  линий, то:

$$\prod_{\sigma \in V} \frac{da_\sigma a_\sigma^{\xi_\sigma}}{D^2(a)} = \lambda_V^{\xi_V - \omega_V - 1} d\lambda_V \prod_{\sigma \in V} \frac{da_\sigma a_\sigma^{\xi_\sigma}}{D^2(a)} \delta(1 - \sum_{\sigma \in V} a_\sigma),$$

где

$$\omega_V = 2C_V - L_V; \quad \sum_{\sigma \in V} \xi_\sigma = \xi_V. /5/$$

Интеграции по  $\lambda_V$  в окрестности  $\lambda_V = 0$  порождают краевые особенности - полюса  $(j - \omega_V + \xi_V)^{-1}$ .

Отличительной чертой диаграммы рис. 2/диаграмма рис. 1, в которой блоки представляют собой лестницы с заштрихованными ядрами в качестве ступенек/ в теории  $\phi^4$  является наличие кратных полюсов в точке  $j = 0$ , происходящих как из-за асимптотического режима всей диаграммы, так и из-за наличия расходимостей в ядрах. Это соответствует поведению типа  $\ell_n S(\ell_n S)^k (\ell_n S)^m$ . Суммирование собирает эти дополнительные логарифмы в асимптотику четырехточечного блока в пределе, когда все скалярные произведения внешних по отношению к нему импульсов велики, т.е. все  $p_i p_j, p^2 \approx \Lambda^2 \gg m^2$ . Как известно /9/, четырехвершинный блок в этом пределе с точностью до множителя  $d(\Lambda^2)$  ( $D(p^2) = d(p^2) / (p^2 - m^2)$ ) имеет смысл заряда на малых расстояниях /“затравочного заряда“/ и тесно связан с характером ренормировки в теории и поведением функции типа Гелл-Манна-Лоу. Из-за асимптотического характера своего ряда теория возмущений, по-видимому, не может сказать, каков же характер ренормировки, поэтому здесь мы вынуждены делать предположения. Наиболее естественным нам кажется предположение о конечности ренормировки заряда, т.е. о конечном пределе инвариантного заряда при  $\Lambda^2 \rightarrow \infty$ . Такое предположение эквивалентно масштабному поведению гриневских функций в теории и приводит к картине высокознергетических процессов /10/, согласующейся с экспериментальными наблюдениями. В рамках этой гипотезы суммирование дополнительных полюсов из-за расходимостей верхнего и нижнего блоков и приводит к смещению простого полюса в точке  $j=0$  влево на величину  $4\epsilon$ , где  $\epsilon$  - аномальная размерность мезонного пропагатора ( $d(\Lambda^2) \approx \Lambda^{2\epsilon}$  при  $\Lambda^2 \rightarrow \infty$ ), т.е. асимптотика оказывается падающей.

Другой характерной чертой диаграммы рис. 2 являются особенности, связанные с асимптотическим режимом краевых подграфов, стягивание которых в точку соединяет концы  $p_1$  и  $p'_1$  или  $p_2$  и  $p'_2$ /например, сжатие подграфа  $V_L$  в точку на рис. 2 приводит к соединению концов  $p_1$  и  $p'_1$ /. Для каждой конечной диаграммы они порождают полюс некоторого порядка в точке  $j = -1$ ./В теории  $\phi^3$  такого рода особенности дают полюс второго порядка

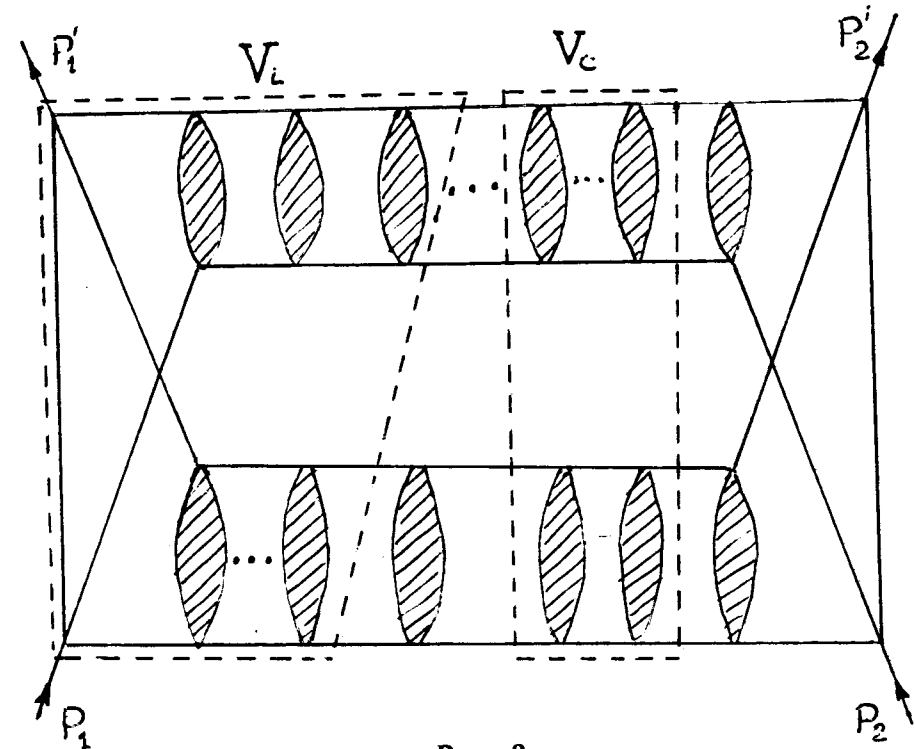


Рис. 2

в точке  $j = -3$  независимо от числа “ступенек” верхней и нижней “лестниц”. Однако порядок полюса с ростом числа ядер верхней и нижней лестниц растет, так что суммирование этих особенностей дает для функции  $\Phi(j)$  в /2/ выражение

$$\Phi(j) \approx \frac{1}{j(j+1)^2} \left[ \frac{j+1 - 4r_0^2}{(j+1-r_0^2)(j+1-2r_0^2)} \right], /6/$$

где  $r_0^2 = Z^2(h_0 / 16\pi^2)^2$ ,  $Z$  - постоянная ренормировки, а  $h_0$  - “затравочный заряд“. Ведущей особенностью в /6/ является либо полюс второго порядка в точке  $j = -1 + 2r_0^2$  при  $2r_0^2 > 1$ , либо простой полюс в нуле.

Третий тип особенностей связан с обращением в нуль  $A(a)$ , имеющей для диаграммы рис. 1 вид /7/, за счет обращения в нуль функций  $X_{L-}$  и  $X_R$  в середине области

интеграции по  $\alpha$  и обращения  $A(\alpha)$  в нуль на краю области. Именно этот тип особенности приводит в теории  $\phi^3$  к движущемуся ветвлению в точке  $j = \alpha_1(t) + \alpha_2(t) - 1$ , связанному с "перерассеянем реджонов"  $\alpha_1(t)$  и  $\alpha_2(t)$  соответствующих верхнему и нижнему блокам. Из рассмотрения следует, что эта же особенность остается и в теории  $\phi^4$ , несмотря на неубывание амплитуды с ростом масс внешних частиц. Этот вывод является основным результатом работы.

## 2. Неплоские особенности диаграммы

Согласно Полкингхорну /3/, функция  $A(\alpha)$  для диаграммы рис. 1 представима в виде

$$A(\alpha) = \alpha \alpha' [\Delta(\alpha) X_L^{(\alpha)} X_R^{(\alpha)} + \bar{A}(\alpha)], \quad /7/$$

где  $\Delta(\alpha) = D_b(\alpha) D_H(\alpha) / D(\alpha)$ , а  $D_b(\alpha)$  ( $D_H(\alpha)$ ) и  $D(\alpha)$  - определители верхнего/нижнего/ блока и всей диаграммы, соответственно.

$$X_L(\alpha) = \alpha_1 \alpha_2 - \alpha_3 \alpha_4 + Q_L(\alpha); \quad /8/$$

$$X_R(\alpha) = \alpha'_1 \alpha'_2 - \alpha'_3 \alpha'_4 + Q_R(\alpha),$$

$Q_{L,R}(\alpha)$  - функции переменных  $\alpha$ , обращающиеся в нуль в главном приближении /т.е. когда обращаются в нуль параметры  $\alpha$ , соответствующие блокам верхней и нижней лестниц/, а функция  $\bar{A}(\alpha)$  может быть представлена в виде

$$\bar{A}(\alpha) = a_1(\alpha) A_b(\alpha) + a_2(\alpha) A_H(\alpha) + O(\alpha^2), \quad /9/$$

где  $A_{b,H}(\alpha)$  - коэффициенты при переменной  $S$  в  $\alpha$  - представлении амплитуды рассеяния, описываемой верхним и нижним блоками /рис. 1/, а  $a_{1,2}(\alpha)$  - функции переменных  $\alpha$ , которые в главном приближении равны единице. Произведение  $A_b(\alpha) A_H(\alpha)$ , обозначенное в /9/ как  $O(\alpha^2)$ , вклада в асимптотику не дает, так как

если сделать "скейлинг" типа /4/ для подграфа  $V_c$ , представляющего собой объединение ядер верхних и нижних лестниц /рис. 2/, то этот член даст  $\lambda_V^2$ .

Для выделения неплоских особенностей, возникающих из-за знаконеопределенности функций  $X_{L,R}(\alpha)$ , следуя Тиктопулусу /11/, вводим новые переменные  $\eta_1$  и  $\eta_2$  на гиперповерхности переменных  $\alpha$ . Тогда  $|A| \epsilon_{\pm}(A)$  из выражения /3/ с помощью биномиального разложения и перехода от суммирования к интегрированию по параметру  $j'$  в комплексной  $j'$ -плоскости можно записать в виде

$$|A(\alpha)|^j \epsilon_{\pm}(A) = \\ = \delta(X_L) \delta(X_R) \left(-\frac{1}{4i}\right) \int_{\delta_1-i\infty}^{\delta_1+i\infty} dj' \frac{\Gamma(j+1)}{\Gamma(j-j'+1) \Gamma(j'+1)} \times \\ \times \frac{e^{i\pi j'} \pm 1}{\sin \pi j'} |A(\alpha)|^{j-j'} \epsilon_{\pm}(\bar{A}) K^{\pm}(j'), \quad /10/$$

где

$$K^{\pm}(j') = \int_{-1}^{+1} \int_{-1}^{+1} d\eta_1 d\eta_2 |\eta_1 \eta_2|^{\pm} \epsilon_{\pm}(\eta_1 \eta_2) = 2 \left[ \frac{1}{(j'+1)^2} \pm \frac{1}{(j'+1)^2} \right]. \quad /11/$$

Из /11/ видно, что разрезы дают вклад только в  $\Phi^+(j;t)$ .

В выражении /10/, смещая линию  $\delta_1$  влево до тех пор, пока интеграл по  $j'$  не будет пренебрежимо мал и учитывая лишь вклад полюса в точке  $j'=-1$ , имеем

$$\Phi^+(j;t) = \frac{H'}{(j+1)^2} \int_0^\infty \prod_\sigma R(\xi_\sigma) \frac{\frac{\partial}{\partial \sigma} da_\sigma}{D^2(a) \Delta(a)} \delta(X_L) \delta(X_R) e^{J(a, t; m)} \times \\ \times \frac{\exp i\pi(j+1) + 1}{\Gamma(j+2) \sin \pi(j+1)} |A(\alpha)|^{j+1} \epsilon_{\pm}(\bar{A}). \quad /12/$$

Множитель  $(j+1)^{-2}$  появляется из-за интеграции по параметрам  $\alpha$  и  $\alpha'$  в окрестности  $\alpha, \alpha' \approx 0$ . Выражение  $|A(\alpha)|^{j+1} \epsilon_{\pm}(\bar{A})$  опять может быть представлено в виде свертки по параметру  $j''$ :

$$|\bar{A}(a)|^{j+1} \epsilon_{\pm}(\bar{A}) = -\frac{1}{2i\pi} \int_{\delta_2-i\infty}^{\delta_2+i\infty} dj'' \frac{\Gamma(j+2) \Gamma(-j'')}{\Gamma(j-j''+2)} \left[ a_1 A_b(a) \right]^{j+1-j''} \times \\ \times [a_2 A_H(a)]^{j''}. \quad /13/$$

Сжатие некоторого числа ядер верхней и нижней лестниц превращает диаграмму в двусвязную. Если через левый "крест" проходит импульс  $q_L$ , а через правый -  $q_R$  и через области, находящиеся между сжатыми ядрами нижней/верхней/ лестницы, - импульс  $\sqrt{t_1}(\sqrt{t_2})$ , то можно выполнить переход к внутренним инвариантам Друммонда  $\lambda^2$ . Интегрирование по 4-импульсу петли  $k$  между лестницами /рис. 1/ заменяется на интегрирования по квадратам вышеуказанных импульсов и якобиан такого преобразования при  $S \rightarrow \infty$ ;  $t/S, m^2/S \rightarrow 0$  и конечных  $t_1$  и  $t_2$  есть  $I = \theta(r) / \sqrt{r(t_1, t_2)}$ , где  $r(t_1, t_2)$  - функция треугольника:

$$r(t_1, t_2) = -t^2 - t_1^2 - t_2^2 + 2(t_1 t_2 + t_1 t_2 + t_1 t_2).$$

Однако область интегрирования по инвариантам Друммонда  $k_i^2 = q_{L,R}^2$ ,  $t_{1,2}$  есть  $-\infty < k_i^2 < 0$ . Поэтому необходимо рассмотреть подобласти  $-k_i^2 < S$  и  $-k_i^2 > S$ . Для первой из них поведение блоков определяется особенностями в  $j$ -плоскости и справедливы аргументы Грибова, приводящие к движущимся ветвлению. Вторая же подобласть является масштабно подобной; здесь все расстояния малы, а поведение определяется размерностью четырехточечной функции - нормальной или аномальной, связанной с характером ренормировки заряда. Как мы уже видели, вклад этой подобласти оказывается убывающим.

Таким образом, мы получили, что особенности диаграммы рис. 1, связанные с неплоскими особенностями краевых подграфов, выражаются через свертку парциальных амплитуд рассеяния верхнего и нижнего блоков  $\Phi_b(j''; t_2)$  и  $\Phi_H(j+1-j''; t_1)$ , а также через функции "крестов"  $f_L$  и  $f_R$ , которые зависят от инвариантных комбинаций начальных  $/p_1$  и  $p_2/$  и конечных  $/p'_1$  и  $p'_2/$  импульсов и  $t_1, t_2$ :

$$\Phi^+(j; t) \approx \int_0^{\infty} \frac{dt_1 dt_2}{\sqrt{r(t_1, t_2)}} f_L f_R \int_{\delta_2-i\infty}^{\delta_2+i\infty} dj'' C^+(j; j'') \times /14/ \\ \times \Phi_b(j''; t_2) \Phi_H(j+1-j''; t_1).$$

Ведущими особенностями  $\Phi_{b,H}(j; t)$  в теории возмущений являются полюса некоторого порядка в точке  $j = 0$ . Как известно  $^{11}$ , суммирование всех таких полюсов приводит к следующему выражению:

$$\Phi_{b,H}(j; t) = C^2(t) [u(j) - B(t)]^{-1}, \quad /15/$$

которое наряду с движущимися полюсами Редже из-за обращения в нуль знаменателя обладает и неподвижными особенностями, входящими через  $u(j)$ , вид которых зависит от характера ренормировки заряда. В случае конечной ренормировки ими являются корневые точки ветвления, положение которых определяется величиной затравочного заряда. Мы не знаем, какая из этих особенностей является ведущей, хотя полагаем, что рост полного сечения pp-рассеяния и продолжающееся вплоть до энергий ISR сужение конуса свидетельствует в пользу полюса  $(j - \alpha_p(t))^{-1}$ . Во всяком случае, перерассеяние двух ветвлений  $\sqrt{j - \alpha_0}$ , описываемое диаграммой рис. 1, дает, согласно /14/,

$$\Phi_1(j; t) = C_1(t) (j+1-2\alpha_0)^2 \ell_n(j+1-2\alpha_0), \quad /16/$$

которое получается и в главном приближении, а перерассеяние полюса и ветвления

$$\Phi_2(j; t) = C_2(t) \sqrt{j+1 - \alpha_0 - \alpha_p(t)}. \quad /17/$$

Перерассеяние же двух полюсов приводит к обычной формуле.

### 3. Заключение

Итак, основным результатом нашей работы является подтверждение того, что особенность в точке  $j = \alpha_1 + \alpha_2 - 1$  из-за "перерассеяния реджионов" характерна не только для теорий с достаточно быстрым убыванием амплитуд рассеяния с ростом внешних масс, но и для теорий, где подобное убывание отсутствует. Конкретно это показано на примере диаграммы мандельстамовского типа в теории  $\phi^4$ . Ясно, однако, что это заключение справедливо и для юкавского взаимодействия фермионов со скалярным, псевдоскалярным и нейтральным векторным обменами. В этом смысле одно из главных предположений "реджинной техники" Грибова /5/ оказывается излишним.

Конечно, у этих теорий достаточно своеобразия, усложняющего механизм передачи квантовых чисел. В частности, во многих каналах, в том числе и в вакуумном, кроме движущихся полюсов, появляются корневые точки ветвления. Характерно, что причиной возникновения этих точек ветвления оказывается масштабное поведение амплитуд /или гриновских функций/ на малых расстояниях т.е. эта особенность, в отличие от полюсов Редже, как бы характеризует центральное взаимодействие элементарных частиц. Однако основным возражением против корневой особенности в качестве особенности Померанчука является предсказываемое ею падение полных сечений как  $(\ell_n S)^{-3/2}$ . В этом отношении положение с полюсным помероном более благоприятно. Хотя модели с подобным помероном и разрезами из-за перерассеяния померонов и дают малую величину прироста полного сечения pp-рассеяния /14/ в области  $ISR / 400 < S < 3000 / \Gamma^2$ , пока неясно, не связано ли это с необычной электромагнитной поправкой небетовского типа /15/. Другая возможность заключается в том, что, по-видимому, померон есть нечто более сложное, чем простой полюс, - например, возникает в результате столкновения полюса с разрезом в корневой точке ветвления при  $t=0$ , как в квазиполюсной модели /16/.

### Литература

1. D.Amati, S.Fubini and A.Stanghellini. *Nuovo Cim.*, 26, 896 (1962).
2. S.Mandelstam. *Nuovo Cim.*, 30, 1127 (1963).
3. I.C.Polkinghorne. *Journ. of Math.Phys.*, 4, 1396 (1963).
4. G.E.Hite. *Acta Physica Austriaca, Suppl.* VIII, 80 (1970).  
P.V.Landshoff. *Acta Physica Austriaca, Suppl.* VII, 154 (1970).
5. В.Н.Грибов. *ЖЭТФ*, 26, 414 /1968/.
6. V.R.Garsevanishvili et al. *Proc. of Coral Gables Conf.* 1969, p. 74.  
См. также обзор В.Р. Гарсеванишвили и др. *ЭЧАЯ*, 1, 92 /1970/.
7. V.M.Budnev et al. *Preprint JINR E2-5509* (1970).  
A.V.Efremov et al. *Preprint JINR E2-4572* (1969).  
См. также "Материалы Межд. совещания по аналит. свойствам амплитуд", Серпухов, 1969.
8. E.R.Speer. *Journ. of Math.Phys.*, 9, 1404 (1968).
9. Н.Н.Боголюбов, Д.В.Ширков. *Введение в квантовую теорию поля*. Гостехиздат, М., 1957.
10. В.М.Буднев и др. *ТМФ*, 6, 55 /1971/.  
A.V.Efremov. *Preprint JINR E2-6612* (1972).  
I.F.Ginzburg. *Novosibirsk* 90, *Preprint TP-74* (1972).
11. G.Tiktopoulos. *Phys.Rev.*, 131, 2373 (1963).
12. I.T.Drummond. *Nuovo Cim.*, 29, 720 (1963).
13. A.V.Efremov, R.Peschanski. *Preprint JINR E2-6350* (1972).
14. К.Г.Боресков и др. *ЯФ*, 14, 814 /1971/.
15. Л.Д.Соловьев. *ЖЭТФ*, 49, 292 /1965/.
16. V.A.Tsarev. *Nucl.Phys.*, B63, 301 (1973).

Рукопись поступила в издательский отдел  
27 июня 1974 года.